



Síntese de fosfato de manganês litiado dopados com nióbio para aplicação em dispositivos de armazenamento de energia.

Gabriel H. M. O. Pinto^{1*} (G), Gabriel J. P. Tonon¹ (PG), Paulo F. R. Ortega¹ (PQ) and Garbas A. Dos Santos Junior¹ (PQ)

¹ Grupo de Estudos em Dispositivos de Armazenamento de Energia (GEDAE) Departamento de Química, Universidade Federal de Viçosa, Viçosa, Brazil

E-mail: gabriel.michel@ufv.br

RESUMO

Com o crescente uso de dispositivos eletrônicos que demandam sistemas de armazenamento de energia, aliado à popularização dos veículos elétricos, torna-se cada vez mais necessário o desenvolvimento de novos materiais que ofereçam maior eficiência e capacidade energética. Nesse contexto, visando o aprimoramento do fosfato de manganês litiado (LMP), foram realizadas substituições parciais do manganês por nióbio, em pequenas proporções, utilizando a metodologia de síntese solvotermal. Os resultados obtidos demonstraram a eficácia do método aplicado, comprovada pelas análises de DRX, e indicaram um desempenho eletroquímico superior para os materiais modificados, especialmente no que se refere à capacidade específica, no qual a substituição de 1% apresentou uma capacidade de 99,63 mAh/g (0,1 A/g), cerca de 30,64% superior ao material sem dopagem. Esses resultados reforçam o potencial dos materiais desenvolvidos para aplicações em sistemas de armazenamento de energia.

Palavras-chave: nióbio, fosfato de manganês litiado, baterias aquosas, supercapacitor.

Introdução

Nas últimas décadas, observou-se um considerável aumento no consumo de dispositivos eletrônicos, impulsionado principalmente pelo crescimento populacional e pela maior facilidade de aquisição desses produtos. Entre os destaques, estão os veículos elétricos e híbridos, que se sobressaem devido aos menores custos de manutenção e ao fato de que o consumo de energia dos seus sistemas de armazenamento é significativamente inferior ao dos combustíveis fósseis utilizados em veículos com motor à combustão. [1]

O Brasil teria muito a ganhar com a migração dos veículos com motor a combustão para os elétricos, considerando a forte dependência do transporte rodoviário tanto para cargas quanto para passageiros. Esse cenário é ainda mais relevante ao se observar que o transporte rodoviário responde por 93% do consumo total de energia do setor de transportes no país. [2]

Esse é apenas um dos cenários em que os dispositivos eletroquímicos ganham destaque, graças à sua ampla aplicabilidade e às diversas formas de funcionamento. Eles têm papel essencial na nova geração de tecnologias que demandam alta densidade de energia, elevada potência, longa vida útil e baixo custo. [3] O cátodo desses dispositivos é um dos principais fatores limitantes da densidade de energia e impacta diretamente no custo das baterias e de outros sistemas, o que torna foco de muitas pesquisas. Entre os materiais mais estudados, destaca-se o fosfato de manganês litiado, LiMnPO4 (LMP) [4].

O LMP é considerado um material promissor para a nova geração de sistemas de armazenamento de energia, principalmente devido ao seu potencial de trabalho em torno de 4,1 V (vs. Li/Li⁺), o que proporciona alta densidade de potência. No entanto, sua baixa condutividade eletrônica (aproximadamente 10⁻¹⁰ S cm⁻¹)^[5] representa um desafio para aplicações práticas. Diversas estratégias vêm sendo exploradas para aprimorar o desempenho eletroquímico

do LMP, como dopagem, revestimento superficial e formação de compósitos.

Nesse contexto, o nióbio se destaca por sua ampla gama de aplicações. Segundo a Companhia Brasileira de Metalurgia e Mineração (CBMM), as reservas de nióbio de Araxá, no Brasil, correspondem a cerca de três quartos da oferta mundial de Nb^[6]. Além disso, o Nb₂O₅ apresenta bom desempenho eletroquímico, tendo uma condutividade eletrônica superior à do LMP (cerca de 10^{-6} S cm⁻¹).

Experimental

Reagentes:

Os reagentes foram utilizados sem tratamento prévio: LiOH.H₂O (Sigma-Aldrich, 98%), MnSO₄.H₂O (Sigma-Aldrich, ≥99%), Nb₂O₅ (Sigma-Aldrich), H₃PO₄ (Sigma-Aldrich 85% m/m) e glicerina (Vetec).

Síntese de $LiNb_xMn_{1-x}PO_4$:

A síntese foi realizada pelo método solvotermal em solvente glicerol e água (1:1 v/v). Inicialmente, ácido fosfórico foi adicionado à 10 mL do solvente binário e em seguida LiOH.H₂O foi adicionado à mistura. Em outra mistura com 10 mL do solvente foram adicionados os sais de sulfatos de manganês e óxido de nióbio. Ambas misturas foram deixadas sob agitação por 30 minutos e em seguida as misturas foram levadas para uma autoclave de 50 mL e deixadas sob aquecimento em 180°C por 12 horas. Após o tempo de síntese, o material foi lavado diversas vezes com água e etanol, por fim, seco em estufa a 80°C por 48 horas.

Os fosfatos de manganês dopado com nióbio foram sintetizados seguindo as proporções de Mn:Nb, 1.00:00; 0.99:0.021 e 0.98:0.02; sendo nomeados, respectivamente, LMP, Nb1 e Nb2.

As olivinas sintetizadas foram revestidas com carbono, dispersando os materiais em etanol e água (1:1) com a dissolução da sacarose em 50% em peso do composto. A dispersão foi realizada em ultrassom de ponta (Sonificador Sonics Vibra-cell) e em seguida, o material foi calcinado a 550°C por 3 horas em atmosfera de nitrogênio.

Caracterização estrutural e eletroquímica:

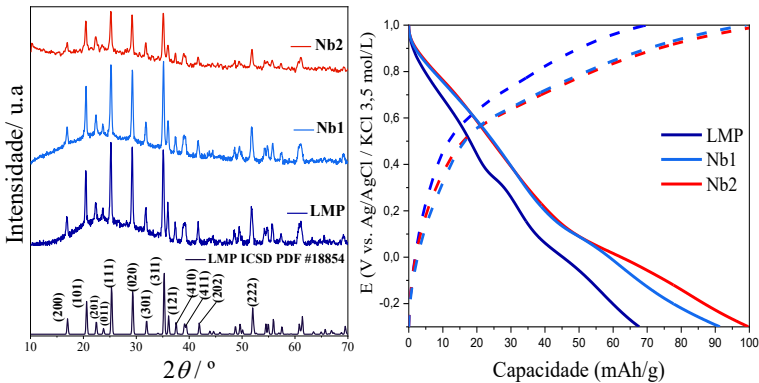
Os materiais sintetizados foram caracterizados por meio da técnica de difração de raios-X, (DRX- D8 DISCOVER – BRUKER) com radiação ($\lambda = 1,5418$ A) e variação angular de 10-90 (2θ).

Para às análises eletroquímicas, foram preparados elétrodos com os materiais sintetizados, misturados com *carbon black* e fluoreto de polivinilideno (PVDF) (proporções de 80%, 10% e 10%, respectivamente) em N-metilpirrolidona (NMP), formando uma pasta, que em seguida, foi espalhada em um tarugo de grafite (coletor de corrente) e foram secos a 80°C, *overnight*. Já as propriedades eletroquímicas foram avaliadas em células de três elétrodos, em potenciostato BIOLOGIC SP300 com medidas de carga e descarga galvanostática. Utilizando referência Ag/AgCl 3,5 mol/L, membranas de fibra de vidro como separador e eletrólito de Li₂SO₄ 1 mol/L.

Resultados e Discussão

Pela análise dos difratogramas (**Figura 1 a**) é possível notar que o LMP foi obtido na fase pura de olivina ortorrômbica (PDF #18854), grupo espacial Pnma, o mesmo vale para as substituições com nióbio, Nb1 e Nb2. Observando o gráfico percebe-se que essa substituição gerou um deslocamento para valores de menores ângulos 2θ . Esse deslocamento indica um aumento nos parâmetros de célula unitária devido a inserção do metal na estrutura.

Figura 1. (a) Difratogramas de Raios-X para LMP, Nb1 e Nb2; (b) Curvas de carga e descarga em 0,1 A/g para LMP, Nb1 e Nb2.



Na análise eletroquímica de carga e descarga (Figura 1b), para a densidade de corrente de 0.1 A/g, o LMP apresentou uma capacidade específica de 76.26 mAh/g. Para os materiais dopados, Nb1 e Nb2, houve um aumento considerável na capacidade, de 19.59% (91.20 mAh/g) para Nb1 e de 30.64% (99.63 mAh/g) para Nb2. Os materiais também foram testados em outras densidades de

corrente — 0.25; 0.5; 1.0 e 1.5 A/g — e os resultados obtidos foram: para o LMP, 44.35; 27.46; 18.89 e 15.39 mAh/g; para o Nb1, 57.35, 39.51; 27.35 e 21.46 mAh/g; e para o Nb2, 59.63; 34.78; 22.10 e 17.51 mAh/g, respectivamente. Observa-se que ambos os materiais dopados com Nb apresentaram melhor desempenho em capacidade específica em todas as densidades de corrente avaliadas, quando comparados ao LMP puro. Quanto à retenção de capacidade a 1.5 A/g em relação a 0.1 A/g, os valores foram de 20.18% (LMP), 23.53% (Nb1) e 17.57% (Nb2). Esses resultados indicam que a dopagem com 1% de Nb proporciona uma melhora significativa no desempenho eletroquímico do fosfato de manganês litiado, tanto em capacidade específica quanto em *rate capability*.

Conclusões

Este trabalho apresentou a síntese e caracterização de fosfatos de manganês litiados modificados com diferentes proporções de nióbio, utilizando a metodologia de síntese solvotermal. As análises de DRX confirmaram a obtenção bem-sucedida dos materiais, demonstrando a eficácia do método empregado. Os compostos sintetizados apresentaram resultados eletroquímicos promissores, com capacidades específicas de 76.26 mAh/g (LMP), 91.20 mAh/g (Nb1) e 99.63 mAh/g (Nb2), evidenciando que a introdução de nióbio resultou em melhorias significativas na capacidade específica e na retenção de carga, especialmente para o material dopado com 1% de Nb. Esses resultados indicam que os materiais desenvolvidos possuem grande potencial para aplicações em sistemas de armazenamento de energia, destacando-se pelas melhorias observadas nas propriedades eletroquímicas após a dopagem com nióbio.

Agradecimentos

FAPEMIG (APQ-01313-24) e CAPES

Referências

- 1. AHSAN, M. B. F. et al. Lithium-ion battery and supercapacitor-based hybrid energy storage system for electric vehicle applications: A review. INTERNATIONAL JOURNAL OF ENERGY RESEARCH, v. 46, n. 14, p. 19826–19854, nov. 2022.
- 2. DE OLIVEIRA, M. B. et al. Factors influencing the intention to use electric cars in Brazil. TRANSPORTATION RESEARCH PART A-POLICY AND PRACTICE, v. 155, p. 418–433, jan. 2022.
- 3. SMDANI, G.; ISLAM, M. R.; YAHAYA AHMAD NAIM AHMAD AND BIN SAFIE, S. I. PERFORMANCE EVALUATION OF ADVANCED ENERGY STORAGE SYSTEMS: A REVIEW. ENERGY & ENVIRONMENT, v. 34, n. 4, p. 1094–1141, jun. 2023.
- 4. HLONGWA, N. W.; RALEIE, N. Lithiated Manganese-Based Materials for Lithium-Ion Capacitor: A Review. ENERGIES, v. 15, n. 19, out. 2022.
- 5. Yi. Hongming et al, Batteries-basel, 9, (2023).
- 6. G.Ricardo, M. Bruno, Atelie Geográfico, 14,142-162 (2020)